

เอกสารอ้างอิง

ธเนศ กองประเสริฐ. 2535. การพัฒนาอุตสาหกรรมแปรรูปผลิตภัณฑ์ของประเทศไทย

ประเทศไทย. วารสารเศรษฐศาสตร์และบริหารธุรกิจ 17(1): 37-52.

ประพันธ์ ปันศิรดม และ ปราณี อ่านเบรื่อง. 2535. โปรดติ埃สต์ริงรูปสำหรับทำให้เปียร์ไซส์ : ตอนที่ 1 การเตรียมและสมบูติทางเอนไซม์ของโปรดติ埃สต์ริงรูปบนไนลอน. วารสารอาหาร. 22(1).

ปราณี อ่านเบรื่อง. 2533. เอนไซม์ทางอาหาร. ตอนที่ 1 ภาควิชาเทคโนโลยีทางอาหาร, คณะวิทยาศาสตร์, จุฬาลงกรณ์มหาวิทยาลัย.

_____ 2535. เอนไซม์ทางอาหาร. ตอนที่ 1 พิมพ์ครั้งที่ 2 ภาควิชาเทคโนโลยีทางอาหาร, คณะวิทยาศาสตร์, จุฬาลงกรณ์มหาวิทยาลัย.

ส่งเสริมการเกษตร, กรม. 2531-2534. ข้อมูลสถิติการผลิตกล้าวยหอมในประเทศไทย. กรุงเทพมหานคร: กรมส่งเสริมการเกษตร.

วิจิตร วงศ์. 2530. กล้าวย. ภาควิชาพืชสวน, คณะเกษตร, มหาวิทยาลัยเกษตรศาสตร์.

ศูนย์วิทยบริพยากร
จุฬาลงกรณ์มหาวิทยาลัย

- Anaya, M.L., Lopez, M.C.A., and Arjona, J.L. 1982. Continuous Clarification of Pectin Solutions in a Basket Reactor with Immobilized Commercial Pectinases. In Dupuy, P.(ed.), Use of Enzymes in Food Technology, Technique et. Documentation Lavoisier. 503-512.
- Anprung, P., Chuengsaengsatityaporn, S., and Thunpitayakul, C. 1989. Immobilized Rennin for Cheese Making I: Preparation and Enzymic Properties of Rennin Immobilized on Sand. Asean Food Journal. 4(3): 107-110.
- Aspinall, G.O. 1970. Polysaccharides. U.S.A.:Pergamon Press. 54-64.
- Barnell, H.R. 1943. Studies in Tropical Fruit. 15. Hemicellulose Metabolism of the Banana Fruit During Storage and Ripening. Ann. Bot. 7: 297-230.
- Baumann, J.W. 1981. Application of Enzymes in Fruit Juice Technology. In Birch, GG., Blakebrough, N., and Parker, K.J. (eds.) Enzymes and Food Processing, 130-155. London: Applied Science Publishers Ltd.
- Boyce, C.O.L. 1986. Novo's Handbook of Practical Biotechnology. Denmark: A Publication of The Bioindustrial Group Novo Industri A/S Bagsvaerd.
- Cowling, E.B., and Brown, w. 1969. Structural Features of Cellulosic Materials in Relation to Enzymatic Hydrolysis. In Gould, R.F.(ed.), Cellulases and Their Applications, 152-187. U.S.A.: American Chemical Society Publication.

- Fadda, M.B., Dessi, M.R., Maurici, R., Rinaldi, A., and Satta, G. 1984. Highly Efficient Solubilization of Natural Lignocellulosic Materials by a Commercial Cellulose Immobilized on Various Solid Supports. Appl. Microbiol. Biotechnol. 19: 306-311.
- Fogarty, W.M., and Ward, O.P. 1972. Pectic Substances and Pectinolytic Enzymes. Process Biochem. 7(8): 13-17.
- Garcia , E., and Lajolo, F.M. 1988. Starch Transformation During Banana Ripening: The Amylase and Glucosidase Behavior. J. Food Sci. 53(4): 1181-1186.
- Gous, F., van wyk, P.J., and McGill, A.E.J. 1987. The Use of Commercial Enzymes in the Processing of Bananas. Lebensm.-Wiss.U.-Technol. 20: 229-232.
- Hanisch, W.H., Rickard, P.A.D., and Nyo, S. 1978. Poly (methoxygalacturonide)Lyase Immobilized via Titanium onto Solid Supports. Biotechnol.Bioeng. 20: 95-106.
- Haslam, J., and Willis, H.A. 1965. Identification and Analysis of Plastic. London: Iliffe Books Ltd. 108-133.
- Ishii, S., and Yokotsuka, T. 1971. Pectic trans-Eliminase with Fruit Juice Clarifying Activity. J.Agr. Food Chem. 19(5): 958-961.
- Jain, P., and Wikins, E.S. 1987. Cellulase Immobilized on Modified Nylon for Saccharification of Cellulose. Biotechnol. Bioeng. 30: 1057-1062.

- Janda, W. 1983. Fruit Juice. In Godfrey, T., and Reichelt, J.(eds.) Industrial Enzymology: The Application of Enzymes in Industry, 172-189. England: The Nature Press.
- Jaleel, S.A., Basappa, S.C., Ramesh, A., and Sreekantiah, K.R. 1978. Developmental Studies on Enzymatic Processing of Banana (*Musa cavendishii*). I. Lavoratory Investigation. Indian Food Packer. 32(2): 17-20.
- _____, Basappa, S.C., Ramesh, A., and Sreekantiah, K.R. 1979. Developmental Studies on Enzymatic Processing of Banana (*Musa cavendishii*). II. Pilot Scale Investigation. Indian Food Packer. 33(1): 10-14.
- Jenniskens, L.H.D., Voragen, A.G.J., Pilnik, W., and Posthumus, M.A. 1991. Effects of the Treatment of Apple Pulp with Liquefying Enzymes on the Aroma of Apple Juice. Lebensm.-Wiss.U.-Technol. 24(1): 86-92.
- Kawabata, A., and Sawayama, S. 1974. Change of the Contents of Sugar, Starch and Pectic Substances of the Acidity in Bananas during Ripening. Eiyo To Shokuryo. 27: 21.
- Kayisu, K., Hood, L.F., and Vansoest, P.J. 1981. Characterization of Starch and Fiber of Banana Fruit. J. Food Sci. 46: 1885-1890.
- Kilara, A. 1982. Enzymes and their Uses in the Processed Apple Industry : A Review. Process Biochem. 17: 35-41.
- Lii, C.Y., Chang, S.M., and Young, Y.L. 1982. Investigation the Physical and Chemical Properties of Banana Starches. J. Food Sci. 47: 1493-1497.

- Lozano, P., Manjon, A., Ronojaro, F., Canovas, M., and Iborra, J.L. 1987. A Cross-flow Reactor with Immobilized Pectolytic Enzymes for Juice Clarification. Biotechnol. Letters. 9(12): 875-880.
- Lozano, P., Manjon, A., Ronojaro, F., and Iborra, J.L. 1988. Properties of Pectolytic Enzymes Covalently Bound to Nylon for Apricot Juice Clarification. Process Biochem. 23(3): 75-78.
- Manning, B.G., and Campbell, L.L. 1961. Thermostable α -Amylase of *Bacillus stearothermophilus*. J. Biol. Chem. 204: 2952-2957.
- Massiot, P., Thibault, J.F., and Rouau, X. 1989. Degradation of Carrot (*Daucus carota*) Fibres with Cell-Wall Polysaccharide-Degrading Enzymes. J. Sci. Food Agric. 49: 45-57.
- McCarthy, A.I., Palmer, J.K., Shaw, C.P., and Anderson, E.E. 1963. Correlation of Gas Chromatographic Data with Flavor Profiles of Fresh Banana Fruit. J. Food Sci. 28: 379-384.
- Miller, G.L. 1959. Dinitrosalicylic Acid Reagent for Determination of Reducing Sugar. Anal Chem. 31: 426-428.
- Noach Ben-Shalom. 1986. Hindrance of Hemicellulose and Cellulose Hydrolysis by Pectic Substances. J. Food Sci. 51: 720-721.
- Novo. The Use of Enzymes in the Fruit Juice Industry. Enzyme Information. Enzyme Division. Denmark: Bagsvaerd. 1-3.

- _____. 1985. Product form Data Information. B302b-GB1000.
- Enzyme Division. Denmark: Bagsvaerd.
- _____. 1989. Product form Data Information. B153h-GB3000:
- Celluclast 1.5L, B0531-GB3000:Ban. Enzyme Division.
- Denmark: Bagsvaerd.
- Ohmiya, K., Tanimura, S., Kobayashi, T., and Shimizu, S. 1978.
- Preparation and Properties of Proteases immobilized on
- Anion Exchange Resin with Glutaldehyde. Biotechnol.
- Bioeng. 20: 1-15.
- Palmer, J.K. 1971. The Banana. In Hulme, A.C.(ed.), The Biochemistry of Fruits and Their Products. 2nd ed.
- 65-105. London: Academic Press.
- Piffri, P.G., and Prezioso, M. 1987. Immobilized of
- Endopolygalacturonase on Gamma-Alumina for the Treatment
- of Fruit Juice. Lebensm-Wiss.U.-Technol. 20(3): 137-142.
- Puvanakrishnan, R., and Bose, S.M. 1980. Studies on the
- Immobilization of Trypsin on Sand. Biotechnol. Bioeng.
- 22: 919-928.
- Reese, E.T., Sin, G.H.R., and Levinson, H.S. 1950. The
- Biological Degradation of Soluble Cellulose Derivatives
- and its Relationship to the Mechanism of Cellulose
- Hydrolysis. J. Bacteriol. 59: 485-497.
- Roboz, E., Barratt, R.W., and Talum, E.L. 1952. Break Down
- of Pectic Substance by a New Enzyme from Newrospora.
- J.Biol.Chem. 195: 459-471.

- Rogalski, J., Szezodrak, J., Dawidowicz, A., Ilezuk, Z., and Leonowicz, A. 1985. Immobilization of Cellulase and D-xylanase Complexes from *Aspergillus terreus* F-413 on Controlled Porosity Glasses. Enzyme Microb. Technol. 7: 395-400.
- Romero, C., Manjon, S., and Iborra, J.L. 1988. Synergistic Effect of Endo-D-polygalacturonase on Coimmobilized Pectinesterase. Biotechnol. Lett. 10: 97-100.
- Roy, S.K., Raha, S.K., Dey, S.K., and Chakrabarty, S.L. 1989. Immobilization of Beta-Glucosidase from *Myceliophthora thermophila* D-14. Enzyme Microb. Technol. 11: 431-435.
- Roy, P.K., Roy, U., and Dube, D.K. 1984. Immobilised Cellulolytic and Hemicellulolytic Enzymes from *Macro-phomina phaseolina*. J. Chem. Tech. Biotechnol. 34B: 165-170.
- Sreekantiah, J.R., Jaleel, S.A., and Rao, T.N.R. 1968. Preparation of Liquid Fluids by Enzymic Processing. J. Food Sci. Technol. 5: 129-132.
- _____, Jaleel, S.A., and Rao, T.N.R. 1971. Utilization of Fungal Enzymes in the Liquefaction of Soft Fruits and Extraction and Clarification of Fruit Juices. J. Food Sci. Technol. 8: 201-203.
- Sreenath, H.K., Frey, M.D., and Radola B.J. 1984. Degradation of a Washed Carrot Preparation by Cellulases and Pectinases. Biotechnol. Bioeng. 26: 788-796.

Sreenath, H.K., Nanjundaswamy, A.M., and Sreekanthia, K.R.

1987. Effect of Various Cellulases and Pectinases
on Viscosity Reduction of Mango Pulp. J. Food Sci.
52: 230-231.

Sreenath, H.K., and Santhanam, K. 1992. Comparision of
Cellulolytic and Pectinolytic Treatment of Various
Fruit Pulps. Chem. Microbiol. Technol. Lebensm.
14: 46-50.

Sriputtirut, N., and Anprung, P. 1989. Preparation and Enzymic
Properties of Cellulase and Cellobiase Complexes
Immobilized on Sand. International Conference
Biotechnology and Food. Stuttgart: Hohemheim University.

Stratilova, E., Capka, M., and Rexova-Benkova, L. 1987.
Endopolygalacturonase Immobilized on Epoxide-
Containing Supports. Biotechnol.Lett. 9(7): 511-516.

Takeuchi, T., and Makino, K. 1986. Cellulase Immobilized on
Poly-L-Glutamic Acid. Biotechnol. Bioeng. 29: 160-164.

Tressl, R., and Drawert, F. 1973. Bioengenesis of Banana
Volatiles. J. Agric. Food Chem. 21(4): 560-565.

Tressl, R., and Jennings, W.G. 1972. Production of Volatile
Compounds in the Ripening Banana. J. Agric. Food Chem.
20(2): 189-192.

Trevan, D.M. 1980. Immobilized Enzyme: An Introduction and
Application in Biotechonlogy. New York: John Will and
Son.

- Viquez, F., Lastreto, C., and Cooke, R.D. 1981. A Study of the Production of Clarified Banana Juice using Pectinolytic Enzymes. J. Food Technol. 16: 115-125.
- Von Loesche, H.W. 1950. Banana. 2nd ed. New York: Interscience.
- Voragen, A.G.J., Heutink, R., and Pilnik, W. 1980. Solubilization of Apple Cell Walls with Polysaccharide-Degrading Enzymes. J. Appl. Biochem. 2: 452-468
- Voragen, A.G.J., Schols H.A., Siliha, H.A.I., and Pilnik, W. 1986. Enzymic Lysis of Pectic Substances in Cell Walls: Some Implications for Fruit Juice Technology. In Fishman, M.L.; and Jen, J.J.(eds.) Chemistry and Function of Pectins, 230-240. American Chem. Soc. Symp. Series 310.
- Whitaker, J.R. 1984. Pectic Substance, Pectic Enzymes and Haze Formation in Fruit Juices. Enzyme Microb. Technol. 6: 341-349.
- Wongkhalaung, C., Kashiwagi, Y., Ohta, T., and Sasaki, T. 1985. Cellulase Immobilized on a Soluble Polymer. Appl. Microbiol. Biotechnol. 21: 37-41.
- Yamasaki, M., Kato, A., Chu, S.Y., and Arima, K. 1967. Pectic Enzymes in the Clarification of Apple Juice. Part II. The Mechaism of Clarification. Agric. Biol. Chem. 31(5): 552-560.
- Yamasaki, M., Yasui ,T., and Arima, K. 1964. Pectic Enzymes in the Clarification of Apple Juice, Part I. Study on the Clarification Reaction in a Simplified Model. Agric. Biol. Chem. 28(11): 779-787.

ภาคผนวก ก

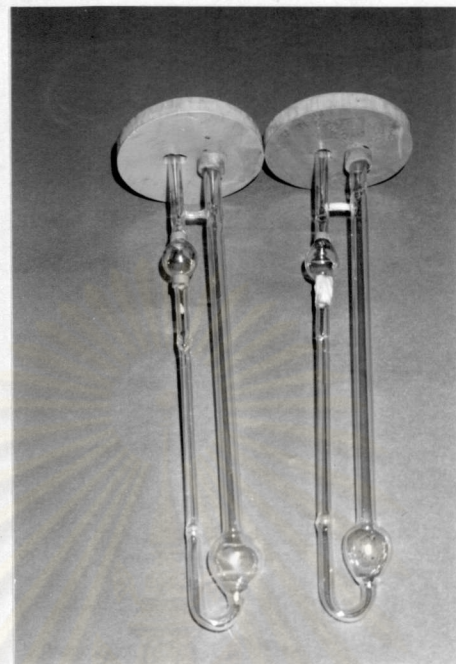
ข้อมูลเพิ่มเติม

ก-1 วิธีวิเคราะห์หาแอคติวิตี้ของเเพคตินেส

ก-1.1 การวิเคราะห์หาแอคติวิตี้ของเเพคติน์ในรูปการลดลงของความหนืด (Roboz, 1952 และ Anaya, 1982)

วิธีวิเคราะห์

นิเปตสารละลายที่ต้องการวัดความหนืดจำนวน 3 มิลลิลิตร นำสู่ใน ostwald viscometer (รูปที่ ก-1.1) นำไปบ่มในอ่างน้ำควบคุมอุณหภูมิ (รูปที่ ก-1.2) ที่อุณหภูมิ 30 องศาเซลเซียส เป็นเวลา 5 นาที แล้วจึงจับเวลาหาอัตราการไหลของเหลว แล้วคำนวณหาค่าเบอร์เซนต์การลดลงของความหนืด (% viscosity deminishing, A) จากสูตร



รูปที่ ก-1.1 เครื่องวัดความหนืด ostwald viscometer



รูปที่ ก-1.2 ostwald viscometer พร้อมกับอ่างควบคุมอุณหภูมิ

$$A = [(V_t - V_o) / (V_t - V_s)] \times 100$$

โดยที่ V_o = เป็นเวลาในการไหล (วินาที) ของสารละลาย

ปฏิกิริยา เพคตินและ เพคตีเนส

V_t = เป็นเวลาในการไหลของสารละลาย เพคตินกับ

เพคตีเนสที่ถูกยับยั้งการทำงาน (inactive enzyme)

V_s = เป็นเวลาในการไหลของตัวทำละลายคือ อะซีเตตบัฟเฟอร์

ความเข้มข้น 0.1 นิล/ลิตร

นำค่าเบอร์เรนต์การลดความหนืด (A) ไปคำนวณหาหน่วยเอนไซม์โดยที่

หมายเหตุ 1 หน่วยเอนไซม์ (unit enzyme) หมายถึง ปริมาณเอนไซม์ที่ลดความหนืดของสารละลาย เพคตินความเข้มข้นร้อยละ 1 โดยน้ำหนัก/ปริมาตร ลงครึ่งหนึ่ง หรือลดลงร้อยละ 50 ภายในเวลา 1 นาที ที่ 30 องศาเซลเซียส

ก-1.2 วิธีวิเคราะห์แอคติวิตี้ของเพคตีเนสอิสระ

เตรียมสารละลายสับสเตรทริ่งประกอบด้วยสารละลาย เพคตินความเข้มข้นร้อยละ 2 โดยน้ำหนัก/ปริมาตรในน้ำกลิ้น จำนวน 5 มิลลิลิตร เจือจางด้วยอะซีเตตบัฟเฟอร์ 0.2 นิล/ลิตร pH 4.0 จำนวน 4.5 มิลลิลิตร ใส่ในหลอดทดลองบ่มใน shaking bath ที่ อุณหภูมิ 30 องศาเซลเซียส เป็นเวลา 5 นาที เติมสารละลาย เพคตีเนสในอะซีเตตบัฟเฟอร์ความเข้มข้น 0.2 นิล/ลิตร pH 4.0 จำนวน 0.5 มิลลิลิตร บ่มต่อไปเป็นเวลา 1 นาที หยุดปฏิกิริยานิ้าเดือดเป็นเวลา 5 นาที ทາให้เย็นอย่างรวดเร็ว นำไปวัดแอคติวิตี้ตามวิธีในข้อ ก-1.1

ก-1.3 วิธีวิเคราะห์ยาคติวิติของเพคตินสตอร์บูปบันผ้าในล่อน

นิเปตสารละลายเพคตินเข้มข้นร้อยละ 1 โดยน้ำหนัก/ปริมาตร อะซีเตตบัฟเฟอร์ความเข้มข้น 0.1 رومล/ลิตร pH 4.0 จำนวน 10 มิลลิลิตร ใส่ในหลอดทดลองบ่มใน shaking bath ที่อุณหภูมิ 30 องศาเซลเซียส เป็นเวลา 5 นาที ใส่เพคตินสตอร์บูปบันผ้าในล่อนขนาด 2.5×2.5 ตารางเซนติเมตร จำนวน 5 แผ่น บ่มต่อไปอีกเป็นเวลา 30 นาที หยดบีบีกิริยาน้ำเดือดเป็นเวลา 5 นาที ทำให้เย็นอย่างรวดเร็ว นำไปวัดยาคติวิติตามวิธีในข้อ ก-1.1

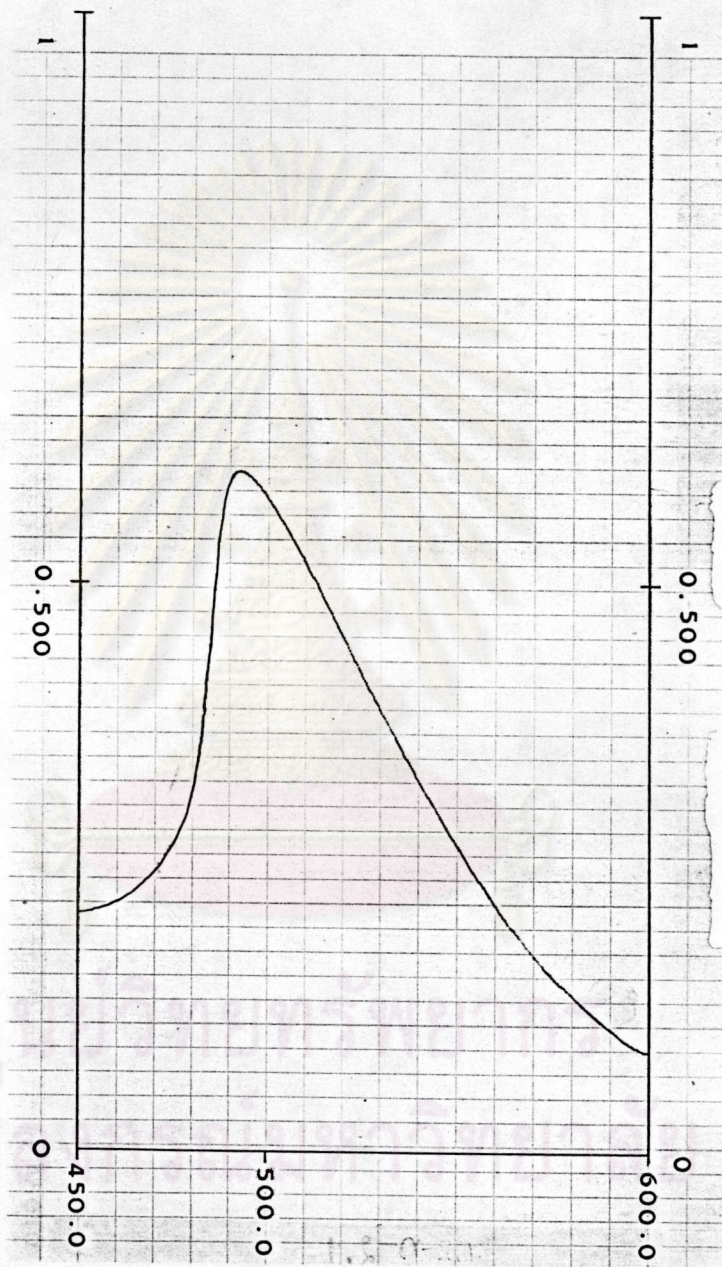
ก-2 วิธีวิเคราะห์หายาคติวิติของเชลลูเลส

ก-2.1 การวิเคราะห์นานาตาลรีดิวช์ โรคบีช Dinitrosalicylic Acid

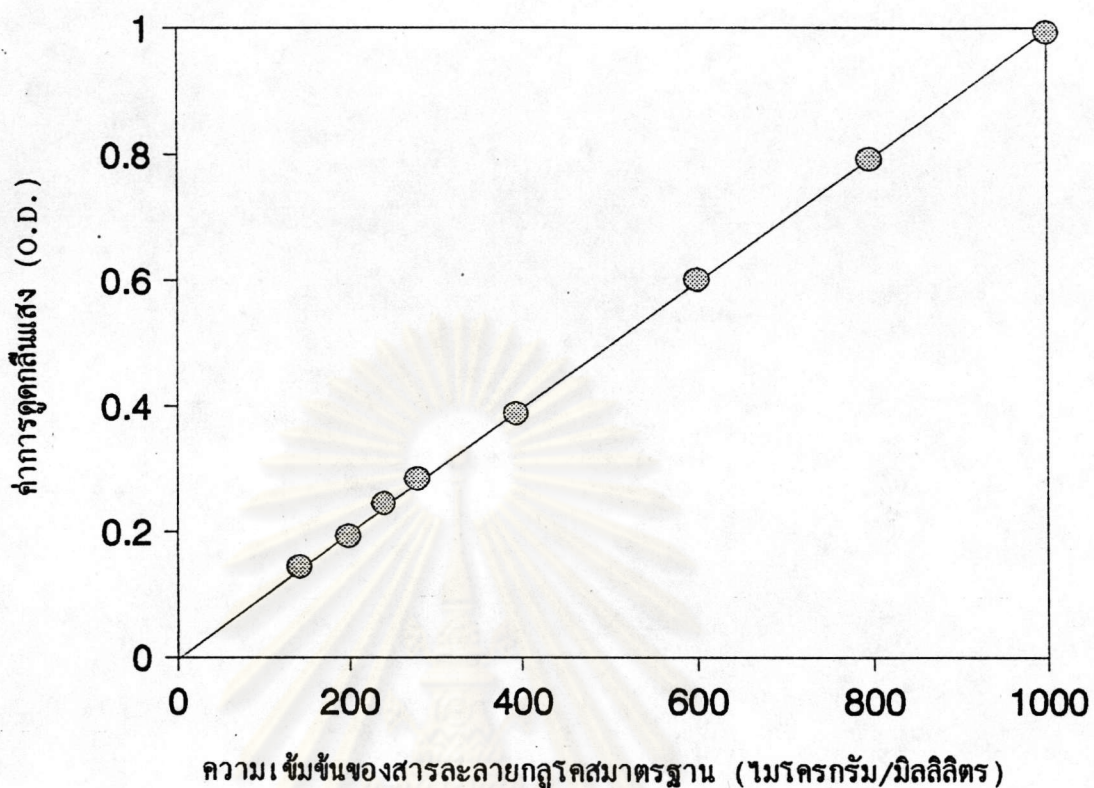
Method (Miller, 1959)

วิธีวิเคราะห์

- (1) ใส่สารละลายน้ำตาลกลูโคสมาร์คฐาน 1 มิลลิลิตรในหลอดทดลอง
- (2) เติมสารละลาย dinitrosalicylic acid ปริมาตร 3 มิลลิลิตร เข่าให้เข้ากัน นำไปต้มในน้ำเดือด 5 นาทีแล้วทำให้เย็นทันที
- (3) เติมน้ำกลั่นปริมาตร 6 มิลลิลิตร เข่าให้เข้ากันนำไปวัดค่าการดูดกลืนแสงที่ความยาวคลื่น 495 นาโนเมตร ซึ่งเป็นค่าความยาวคลื่นที่มีการดูดกลืนแสงมากที่สุด ดังแสดงในรูป ก-2.1 เจียนกราฟความสัมพันธ์ระหว่างค่าการดูดกลืนแสงกับความเข้มข้นของน้ำตาลกลูโคส ดังรูป ก-2.2
- (4) สามารถตัวอย่างที่จะหาปริมาณน้ำตาลรีดิวช์ วิเคราะห์เข่นเดียว กับความเข้มข้นของน้ำตาลกลูโคส ดังรูป ก-2.2 โดยเทียบกับกราฟมาตรฐาน



รูปที่ ก-2.1 สเปกตรัมการดูดกลืนแสงของน้ำตาลกูโรโคสที่ความยาวคลื่นต่าง ๆ



รูปที่ ก-2.2 ความสัมพันธ์ระหว่างความเข้มข้นของสารละลายน้ำตาลกลูโคส กับค่าการดูดซึมน้ำเสียที่ความยาวคลื่น 495 นาโนเมตร

ก-2.2 วิธีวิเคราะห์แอคติวิตี้ของเชลลูเลสอิสระ

เตรียมสารละlays สับสเตรทชิ่งประกอบด้วยสารละลาย CMC เข้มข้น ร้อยละ 2 โดยน้ำหนัก/ปริมาตรในน้ำเกลี้ยง จำนวน 2.5 มิลลิลิตร เจือจางด้วยสารละลาย อะซีเตตบัฟเฟอร์ ความเข้มข้น 0.2 رومล/ลิตร pH 4.8 จำนวน 2 มิลลิลิตร ปั่นนาน shaking bath ที่อุณหภูมิ 40 องศาเซลเซียส เป็นเวลา 5 นาที เติมสารละลาย เชลลูเลสในอะซีเตตบัฟเฟอร์ความเข้มข้น 0.2 رومล/ลิตร pH 4.8 จำนวน 0.5 มิลลิลิตร ปั่นต่อไปอีกเป็นเวลา 5 นาที หยุดปฏิริยาในน้ำเดือดเป็นเวลา 5 นาที ท้าให้เย็นอย่างรวดเร็วนำไปวัดหมู่รีดิวช์ตามวิธีในข้อ ก-2.1

ก-2.3 วิธีหาแอคติวิตี้ของเซลลูเลสทริงรูปบันผ้าในล่อน

ปีเปตสารละลายน้ำมีปริมาณ CMC เท่ากับ 0.1 มิลลิลิตร จึงต้องใช้ห้องทดลองปั่นป่วนในน้ำมันเพื่อทดสอบความเข้มข้น 0.1 มิลลิลิตร pH 4.8 จำนวน 5 มิลลิลิตร ใส่ในหลอดทดลองปั่นป่วนใน shaking bath ที่อุณหภูมิ 40 องศาเซลเซียส เป็นเวลา 5 นาที ใส่เซลลูเลสทริงรูปบันผ้าในล่อนขนาด 2.5×2.5 ตารางเซนติเมตร จำนวน 5 แผ่น ปั่นต่ออีกเป็นเวลา 30 นาที หยุดปั่นกิริยาในน้ำเดือดเป็นเวลา 5 นาที ทำให้เย็นอย่างรวดเร็วนำไปวัดหน่วยดิวช์ตามวิธีในข้อ ก-2.1

หมายเหตุ 1 หน่วยเอนไซม์ (unit enzyme) หมายถึง ปริมาณเอนไซม์ที่เปลี่ยนสับสเตรท CMC ไปเป็นกลูโคส 1 ไมโครกรัม ในเวลา 1 นาที ที่ 40 องศาเซลเซียส

ก-3 วิธีการวิเคราะห์หาแอคติวิตี้ของอะมัยเลส

ก-3.1 การวิเคราะห์หาปริมาณแป้งโดยวิธี starch-iodine method

(Manning, 1961)

การวิเคราะห์

(1) ใส่สารละลายน้ำแป้งปริมาณ 5 มิลลิลิตร ลงในหลอดทดลองอุ่นที่อุณหภูมิ 40 องศาเซลเซียส เป็นเวลา 5 นาที

(2) ตูดสารละลายน้ำที่ได้ 0.1 มิลลิลิตร ใส่ในสารละลายน้ำโซเดียมโซเดียม ปริมาณ 10 มิลลิลิตร เขย่าให้เข้ากันนำไปวัดค่าการตูดกลืนแสงที่ความยาวคลื่น 590 นาโนเมตร (ซึ่งเป็นค่าความยาวคลื่นที่มีการตูดกลืนแสงมากที่สุดดังแสดงในรูป ก-3.1)

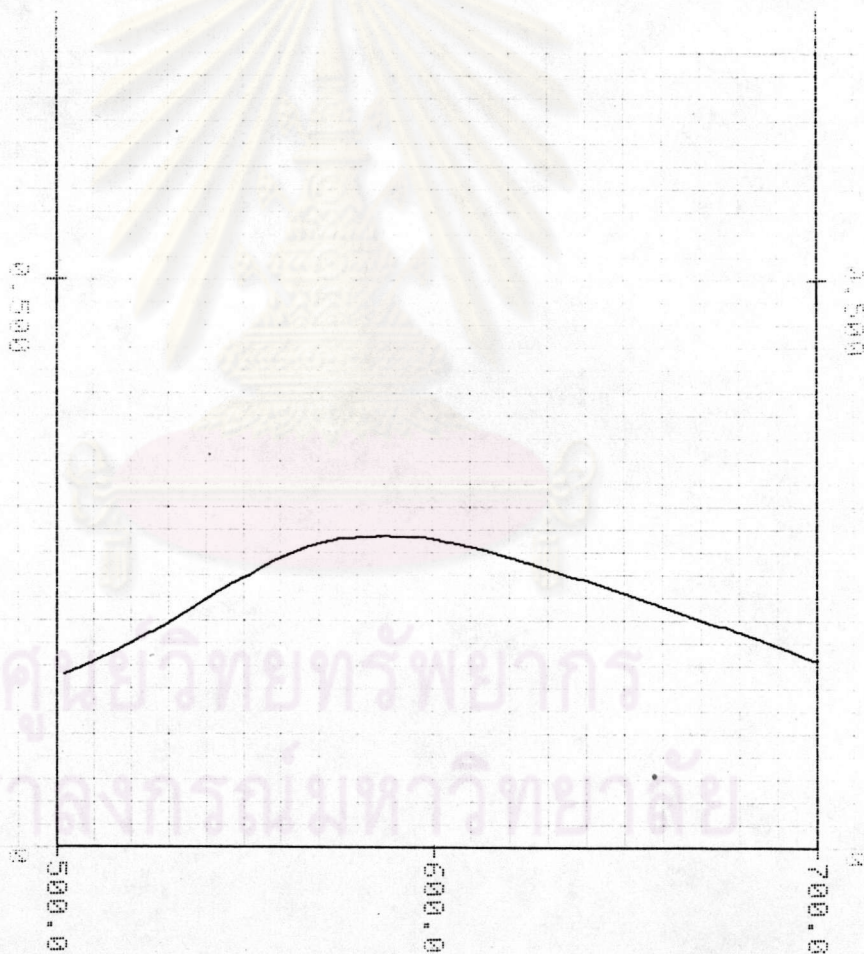
การคำนวณ

มิลลิกรัมของแป้งที่ถูกย่อย = $\frac{AbC - AbD}{AbC} \times$ มิลลิกรัมของแป้งเริ่มต้น

AbC

เมื่อ AbC = ค่าการดูดกลืนแสงของ control

AbD = ค่าการดูดกลืนแสงของตัวอย่าง



รูปที่ ก-3.1 สเปกตรัมการดูดกลืนแสงของสารละลายปฏิกิริยาน้ำแป้งกับไอโซเดียมีความยาวคลื่นต่าง ๆ

ก-3.2 วิธีวิเคราะห์แอคติวิตี้ของอะมัยเลสทริงรูบบันผ้าในลอน

ปีเบตสารละลายน้ำมีปั้งความเข้มข้นร้อยละ 1 โดยน้ำหนัก/ปริมาตรในอะซิเตตบัฟเฟอร์ความเข้มข้น 0.1 ㏖/ลิตร. pH 5.0 จำนวน 5 มิลลิลิตร ใส่ในหลอดทดลอง บ่มใน shaking bath ที่อุณหภูมิ 40 องศาเซลเซียส เป็นเวลา 5 นาที ใส่อะมัยเลสทริงรูบบันชิ้นผ้านลอนขนาด 2.5×2.5 ตารางเซนติเมตร จำนวน 5 ชิ้น บ่มต่ออีกเป็นเวลา 10 นาที ติดตามแอคติวิตี้ของอัลฟาระมัยเลสตามวิธีในข้อ ก-3.1

หมายเหตุ 1 หน่วยเอนไซม์อะมัยเลสเท่ากับ ปริมาณของเอนไซม์ที่ย่อยสลายแป้ง 1 มิลลิกรัมที่อุณหภูมิ 40 องศาเซลเซียส ในเวลา 1 นาที

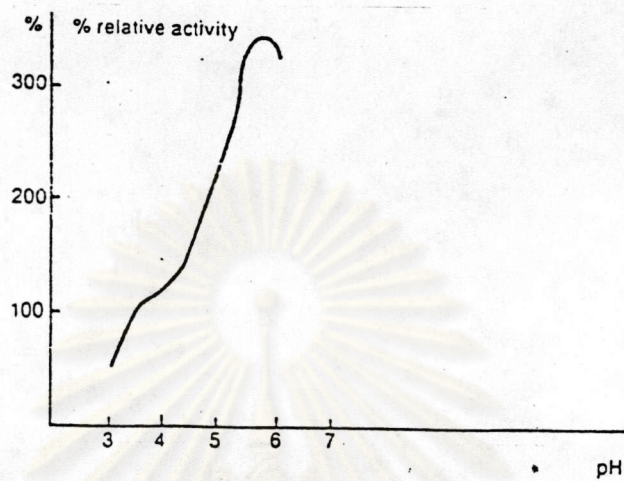
ก-4 ข้อมูลรายละเอียดของ Pectinex Ultra SP-L (Novo, 1985)

Pectinex Ultra SP-L เตรียมจาก *Aspergillus niger* สายพันธุ์ที่ผ่านการคัดเลือกแล้ว โดยจะมีเยมิเซลลูเลสเป็นส่วนประกอบอยู่ด้วย เพื่อช่วยในการสลายเนื้อเยื่อของผนังเซลล์

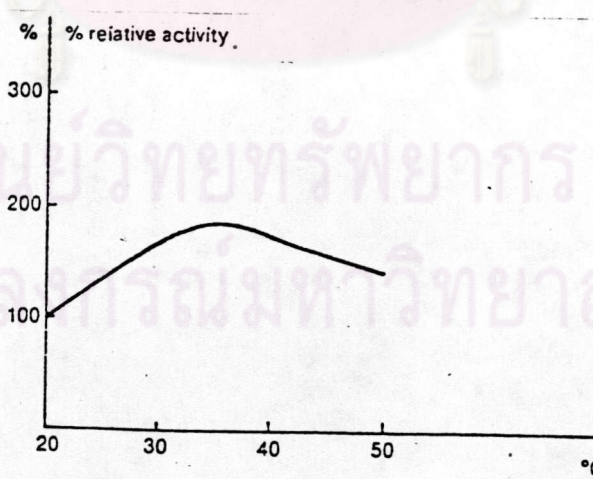
ก-4.1 ลักษณะโดยทั่วไป

Pectinex Ultra SP-L มีลักษณะเป็นของเหลวสีน้ำตาลเข้ม มีกลิ่นเปรี้ยวหรือกลิ่นหมักเล็กน้อย มี pH ประมาณ 4.5 สามารถละลายน้ำได้ดี เออนไซม์อาจมีความชุ่นเกิดจืด แต่ไม่มีผลกระทบต่อแอคติวิตี้ มีแอคติวิตี้ 26.000 PG/มิลลิลิตร โดยที่ 1 PG (Polygalacturonase units) หมายถึงปริมาณเอนไซม์ที่ให้ความหนาดของสารละลายกรดเพคติกลดลงร้อยละ 50 ที่อุณหภูมิ 20 องศาเซลเซียส pH 3.5 ในเวลา 30 นาที

Pectinex Ultra SP-L สามารถทำงานได้ในช่วงอุณหภูมิ 8-55 องศาเซลเซียส ที่อุณหภูมิสูงกว่า 55 องศาเซลเซียส พบว่า เออนไซม์บางส่วนถูกยับยั้งการทำงาน มี pH ในการทำงานในช่วงความเป็นกรดปานกลาง สำหรับในการปฏิที่ผลไม้มีความเป็นกรดสูงพบว่าต้องเพิ่มปริมาณของเอนไซม์ที่ใช้มากขึ้น ซึ่งแอคติวิตี้ของ Pectinex Ultra SP-L ที่ pH และ อุณหภูมิต่าง ๆ แสดงในรูปที่ ก-4.1 และ ก-4.2 ตามลำดับ



รูปที่ ก-4.1 ผลของ pH ต่อแอคติวิตี้ของ Pectinex Ultra SP-L



รูปที่ ก-4.2 ผลของอุณหภูมิต่อแอคติวิตี้ของ Pectinex Ultra SP-L

ก-4.2 การเก็บรักษา

โดยทั่วไปการเก็บที่อุณหภูมิ 20 องศาเซลเซียส จะมีอายุการเก็บเป็นเวลา 3 เดือนโดยไม่สูญเสียแอกติวิตี้ แต่หลังจากนั้นเอนไซม์จะมีแอกติวิตีลดลงร้อยละ 1-2 ต่อเดือน การเก็บที่อุณหภูมิ 5-10 องศาเซลเซียส เอนไซม์จะมีอายุการเก็บนานขึ้นเป็นเวลาอย่างน้อย 1 ปี โดยไม่มีการสูญเสียแอกติวิตี้

ก-4.3 สมบัติต้านความปลดภัยและข้อระวังในการใช้งาน

Pectinex Ultra SP-L ได้รับการยอมรับจาก FAO/WHO JECFA และ FCC ให้เป็นเอนไซม์ที่ใช้กับอาหาร (food grade enzyme) โดยมีเชื้อที่มีชีวิตอยู่ (total viable count) สูงสุดไม่เกิน 5×10^4 และมีเชื้อร้ายไม่เกิน 10^2 ต่อกรัม

ข้อควรระวังในการใช้งานคือ หลีกเลี่ยงการสูดดมหรือสัมผัสกับเอนไซม์โดยตรง ในกรณีที่สัมผัสสูกผิวนังหรือตา ให้รีบล้างออกด้วยน้ำทันที

ก-4.4 การนำไปใช้

สำหรับการประยุกต์ใช้นั้น มักจะใช้ในอุตสาหกรรมการผลิตน้ำผลไม้โดยนำ Pectinex Ultra SP-L มาใช้กับเนื้อผลไม้สด จะช่วยเพิ่มผลผลิตในการสกัดน้ำผลไม้และทำให้การปั่นอัดเบ็นนำไปได้ง่ายขึ้น ตัวอย่าง เช่นการใช้เพื่อช่วยเพิ่มผลผลิตของน้ำแอบเบิล จากแอบเบิลสดและแอบเบิลที่ผ่านการเก็บมาแล้ว ซึ่งพบว่าทั้ง 2 กรณี ที่ระดับของการใช้แรงปั่นคันน้ำเท่ากัน การใช้เอนไซม์จะให้ผลผลิตน้ำแอบเบิลได้มากกว่า

ก-5 ข้อมูลรายละเอียดของ Celluclast 1.5L (Novo, 1989)

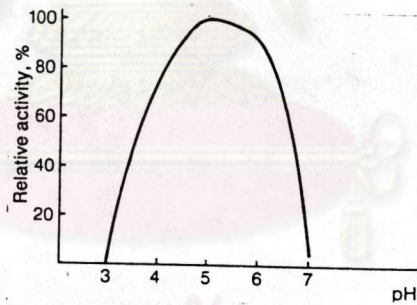
Celluclast 1.5L เป็นเชลลูเลสที่เตรียมได้จากการหมักแบบจุ่มอาหารเหลว (submerged fermentation) ของ *Trichoderma reesei* การทำงานของเอนไซม์นี้จะเร่งการแตกพันธะของเชลลูโลสไปเป็นกลูโคส เชลลูไบโรส และกลูโคสที่ต่อกันเป็นโพลีเมอร์สายยาว ซึ่งปริมาณของฟลิตภัณฑ์แต่ละชนิดขึ้นกับภาวะในการทําน้ำปฏิกิริยา

ก-5.1 ลักษณะทั่วไป

Celluclast 1.5L มีลักษณะ เป็นของเหลวสีน้ำตาลเข้ม สามารถละลายนำไปได้ดี อาจมีความชุ่นเกิดขึ้นได้ แต่จะไม่มีผลกระบบท่อแอกติวิตี้ของเอนไซม์ มีความหนาแน่นประมาณ

1.2 กรัม/มิลลิลิตร มีแอกติวิตี้ 1500 NCU/กรัม โดยที่ 1 NCU (One Novo Cellulase Unit) หมายถึง ปริมาณเอนไซม์ที่ย่อยสลายคาร์บอไฮเดรตเมทิลเซลลูโลส (CMC) แล้วให้ผลิตภัณฑ์คาร์บอไฮเดรตที่มีป้ายรีดิวช์เทียบเท่ากับกลูโคส 1 ไมโครโมล/นาทีภายใต้ภาวะที่กำหนด

แอกติวิตี้ของ Celluclast 1.5L ที่ pH และอุณหภูมิต่าง ๆ แสดงไว้ใน รูปที่ ก-5.1 และ ก-5.2 ตามลำดับ จะเห็นว่า ภาวะที่เหมาะสมสำหรับการใช้งานของ Celluclast 1.5L คือ pH 4.5-6.0 และอุณหภูมิในช่วง 50-60 องศาเซลเซียส



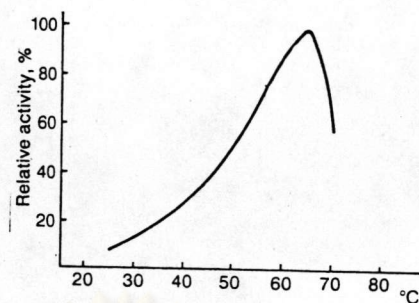
ศูนย์วิทยบริการ
จุฬาลงกรณ์มหาวิทยาลัย

รูปที่ ก-5.1 พลots of pH ต่อแอกติวิตี้ของ Celluclast 1.5 L

ความเข้มข้นของเอนไซม์ = 0.02 NCU/มิลลิลิตร

อุณหภูมิ = 50 องศาเซลเซียส

เวลาในการทำปฏิกิริยา = 20 นาที



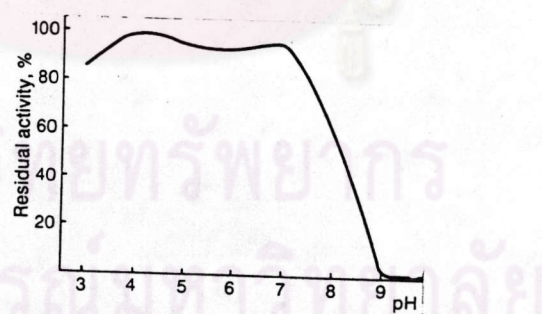
รูปที่ g-5.2 ผลของอุณหภูมิต่อแอคติวิตี้ของ Celluclast 1.5 L

ความเข้มข้นของเอนไซม์ = 0.02 NCU/มิลลิลิตร

pH = 4.8

เวลาในการทำงาน = 20 นาที

เสถียรภาพของ Celluclast 1.5 L เมื่ออู่นรูปของสารละลายที่ pH และอุณหภูมิต่างๆ แสดงในรูปที่ g-5.3 และ g-5.4 ตามลำดับ



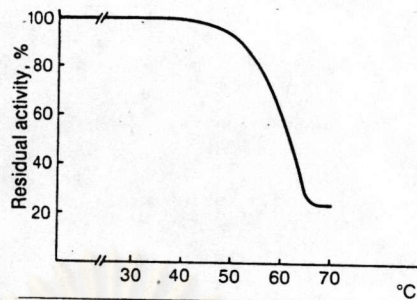
รูปที่ g-5.3 ผลของ pH ต่อเสถียรภาพของ Celluclast 1.5 L

ความเข้มข้นของเอนไซม์ = 2 NCU/มิลลิลิตร

อุณหภูมิ = 25 องศาเซลเซียส

เวลาในการปน = 16 ชั่วโมง

ระบบบัฟเฟอร์ = McIlvaine



รูปที่ ก-5.4 ผลของอุณหภูมิต่อสีเยียภาพของ Celluclast 1.5 L

ความเข้มข้นของเอนไซม์ = 2 NCU/มิลลิลิตร

pH = 4.8

เวลาในการบ่ม = 30 นาที

ก-5.2 การเก็บรักษา

โดยทั่วไปหากเก็บไว้ที่อุณหภูมิ 25 องศาเซลเซียส จะเก็บได้เป็นเวลาประมาณ 3 เดือนโดยที่ยังไม่สูญเสียแอกติวิตี้ การเก็บไว้ที่อุณหภูมิ 5-10 องศาเซลเซียสจะยืดอายุการเก็บให้ยาวนานมากขึ้น

ก-5.3 สมบัติด้านความปลอดภัย

Celluclast 1.5L ได้รับการยอมรับจาก FAO/WHO JECFA และ FCC ให้เป็นเอนไซม์ที่ใช้สำหรับอาหาร (Food grade enzyme) โดยมีเชื้อที่มีชีวิตอยู่ (total viable count) สูงสุดไม่เกิน 5×10^4 และมีเชื้อราไม่เกิน 10^2 ต่อกรัม

ก-5.4 การนำไปใช้

มีการประยุกต์ใช้ Celluclast 1.5 L เพื่อจุดประสงค์ต่าง ๆ ได้แก่ การผลิตน้ำตาลเพื่อใช้ในการหมักจากเซลลูโลส โดยใช้ร่วมกับเซลลูลาในເວສເຊ່າ Novozyme® สำหรับการใช้ในทางอุตสาหกรรม ปริมาณที่เหมาะสมของเอนไซม์ทั้ง 2 ชิ้น กับภาวะในการทำปฏิกิริยา เช่น pH อุณหภูมิความเข้มข้นของสารตั้งต้น ซึ่งในการลองขึ้นตันแนะนำให้ใช้ใน

บริษัทดังนี้คือ ใช้ Celluclast 1.5L ร้อยละ 1 ร่วมกับ Novozym 188 ร้อยละ 0.2 นอกจากนี้ยังใช้ในการลดความหนืดและช่วยเพิ่มผลผลิตที่สกัดได้จากผัก ซึ่งปริมาณที่แนะนำให้ใช้ขั้นต้นคือ ร้อยละ 0.1 โดยน้ำหนักของเอนไซม์/น้ำหนักแห้งของสารตั้งต้น โดยปริมาณที่เหมาะสมจะร่องอาจน้อยกว่าที่แนะนำให้ใช้

ก-6 รายละเอียดของเอนไซม์ Ban 240L (Novo, 1989)

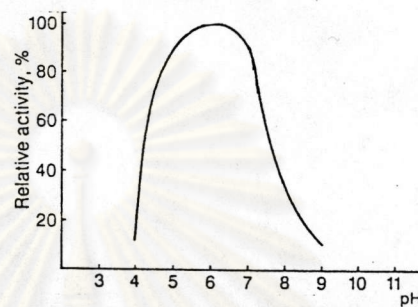
Ban เป็นอัลฟาราฐมัยเลสที่เตรียมได้จากการหมักแบบอาหารเหลว (submerged fermentation) ของ *Bacillus subtilis* สายพันธุ์ที่ผ่านการคัดเลือกแล้ว มีชื่อเรียกตามระบบสากลว่า $1,4\alpha$ -D-glucan glucono-hydrolase (EC 3.2.1.1)

ก-6.1 สมบัติโดยทั่วไป

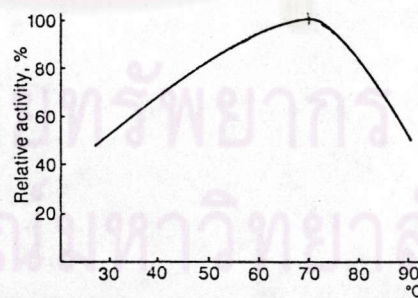
Ban (Bacterial Amylase NOvo) เป็น endo-amylase ที่ตัดพังะไกลโคซิล : -1,4 ในอะมัยโลส อะมัยโลเพคติน และแบงค์ที่เกิดเจลาตินซ์ อย่างสูงซึ่งเป็นผลให้มีความหนืดลดลงอย่างรวดเร็ว ผลิตภัณฑ์ที่ได้คือเดกท์ตرينที่มีความยาวของสายромเลกุลต่าง ๆ กันและ Oligo-saccharides

Ban มีลักษณะเป็นของเหลวสีน้ำตาลเข้มมีความหนาแน่นประมาณ 1.2 กรัม/มิลลิลิตร มีแอคติวิตี้ต่างกันไปตามชนิดของ Ban ดังนี้คือ Ban 480L มีแอคติวิตี้ 480 KNU/กรัม Ban 240L มีแอคติวิตี้ 240 KNU/กรัม และ Ban 120L มีแอคติวิตี้ 120 KNU/กรัม ส่วน Ban 800 MG มีลักษณะเป็นเม็ดที่มีขนาดเล็กมาก (microgranulate) สามารถหลอมได้อย่างอิสระ ไม่ก่อให้เกิดฝุ่นฟุ้ง อนุภาคมีขนาดเฉลี่ย 300 ไมครอน มีแอคติวิตี้ 800 KNU/กรัม โดยที่ 1 KNU (one Kilo Novo α -amylase Unit) หมายถึง ปริมาณของเอนไซม์ซึ่งแตกพังะของแบงค์ (Merck, amyllum Solubile, Erg. B6, Batch 9947275) 5.26 กรัม/ชั่วโมง โดยใช้วิธีมาตรฐานของ NOVO ในการหาแอคติวิตี้ของอัลฟาราฐมัยเลสโดยใช้สภาวะดังนี้คือ ใช้ soluble starch เป็นสารตั้งต้น มีปริมาณของแคลเซียมในตัวท่าละลาย 0.0043 ㏖/เมตริกกรัม เวลาในการทำปฏิกิริยา 7-20 นาที ที่อุณหภูมิ 37 องศาเซลเซียส และ pH 5.6

แอคติวิตี้ของ Ban ที่ pH และ อุณหภูมิต่าง ๆ แสดงในรูปที่ ก-6.1 และ ก-6.2 ตามลำดับ จะเห็นว่าภาวะที่เหมาะสมสำหรับการใช้งานของ Ban คือที่ pH 5-7 และอุณหภูมิ 60-70 องศาเซลเซียส

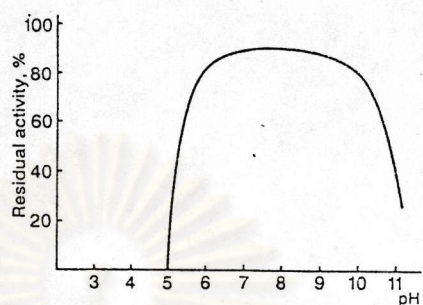


รูปที่ ก-6.1 ผลของ pH ต่อแอคติวิตี้ของ Ban



รูปที่ ก-6.2 ผลของอุณหภูมิต่อแอคติวิตี้ของ Ban

เสถียรภาพของ Ban เมื่ออยู่ในรูปของสารละลายน้ำ pH และอุณหภูมิต่าง ๆ แสดงไว้ในรูปที่ ก-6.3 และ ก-6.4 ตามลำดับ



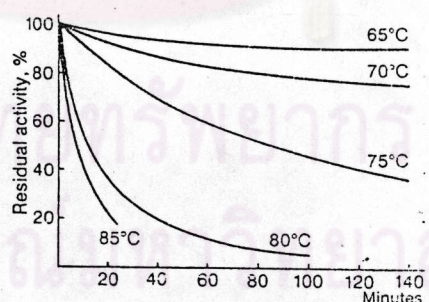
รูปที่ ก-6.3 ผลของ pH ต่อเสถียรภาพของ Ban

อุณหภูมิในการทำปฏิกิริยา 70 องศาเซลเซียส

เวลา 60 นาที

ในสารละลายน้ำที่ประกอบด้วย CaCl_2 0.5 กรัมและ

NaCl 6.0 กรัมต่อลิตร



รูปที่ ก-6.4 ผลของอุณหภูมิต่อเสถียรภาพของ Ban

pH 7.0 (Tris-maleate Buffer)

ในสารละลายน้ำที่ประกอบด้วย CaCl_2 0.5 กรัม และ

NaCl 6.0 กรัมต่อลิตร

ก-6.2 การเก็บรักษา

สำหรับการเก็บรักษาเอนไซม์ โดยทั่วไปหากเก็บไว้ที่อุณหภูมิ 25 องศา-เซลเซียส จะเก็บได้นานเป็นเวลาประมาณ 6 เดือน โดยที่ยังไม่สูญเสียแอคติวิตี การเก็บ Ban 240L ไว้ที่อุณหภูมิ 5 องศาเซลเซียสจะเก็บได้อย่างน้อย 1 ปี โดยที่ยังไม่สูญเสียแอคติวิตี

ก-6.3 สมบัติด้านความปลอดภัยและข้อระวังในการใช้งาน

ได้รับคำแนะนำจาก FAO/WHO JECFA และ FCC ว่าเป็นเอนไซม์ที่ใช้สำหรับอาหาร (food grade enzyme) โดยมีเชื้อที่มีชีวิตอยู่ (total viable count) สูงสุดไม่เกิน 5×10^4 และมีเชื้อร้ายไม่เกิน 10^2 ต่อกรัม

ข้อควรระวังในการใช้งานคือ หลีกเลี่ยงการสูดดมหรือสัมผัสกับเอนไซม์โดยตรงในการปฏิสัมผัสสูญผ่านหนังหรือตา ให้รีบล้างออกด้วยน้ำทันที

ก-7 การเตรียมสารละลายบัฟเฟอร์

ก-7.1 โซเดียมอะซีเตต-กรดอะซิติกบัฟเฟอร์ pH 3.7-5.6

ความเข้มข้น 0.2 โมล/ลิตร

สารละลาย A : สารละลาย $\text{CH}_3\text{COONa} \cdot 3\text{H}_2\text{O}$ ความเข้มข้น 0.2

โมล/ลิตร

สารละลาย B : สารละลาย CH_3COOH ความเข้มข้น 0.2 โมล/ลิตร

ผสมสารละลาย A กับสารละลาย B ตามตารางที่ ก-7.1

ตารางที่ ก-7.1 วิธีเตรียมโซเดียมอะซิเตต-กรดอะซิติกบัฟเฟอร์ pH 3.7-5.6

pH	ปริมาตรสารละลายน A (มิลลิลิตร)	ปริมาตรสารละลายน B (มิลลิลิตร)
3.7	10.0	90.0
3.8	12.0	88.0
4.0	18.0	82.0
4.2	26.5	73.5
4.4	37.0	63.0
4.6	49.0	51.0
4.8	59.0	41.0
5.0	70.0	30.0
5.2	79.0	21.0
5.4	86.0	14.0
5.6	91.0	9.0

หมายเหตุ เตรียมอะซิเตตบัฟเฟอร์ความเข้มข้น 0.1 รอมล/ลิตร โดยเจือจางด้วยน้ำกลิ่นในอัตราส่วน 1:1

ก-7.2 พอสเพตบัฟเฟอร์ pH 5.8-8.0 ความเข้มข้น 0.2 รอมล/ลิตร

สารละลายน A : สารละลายน $\text{Na}_2\text{HPO}_4 \cdot 12\text{H}_2\text{O}$ ความเข้มข้น 0.2 รอมล/ลิตร

สารละลายน B : สารละลายน $\text{NaH}_2\text{PO}_4 \cdot \text{H}_2\text{O}$ ความเข้มข้น 0.2 รอมล/ลิตร

ตารางที่ ก-7.2 วิธีเตรียมพอสเพตบัฟเฟอร์ pH 5.8-8.0

pH	ปริมาณสารละลายน A (มิลลิลิตร)	ปริมาณสารละลายน B (มิลลิลิตร)
5.8	4.00	46.00
6.0	6.15	43.85
6.2	9.25	40.75
6.4	13.25	36.75
6.6	18.75	31.25
6.8	24.50	25.50
7.0	30.50	19.50
7.2	36.00	14.00
7.4	40.50	9.50
7.6	43.50	6.50
7.8	45.75	4.25
8.0	47.35	2.65

ก-7.3 บอเรตบัฟเฟอร์ pH 8.1-9.1

สารละลายน A : สารละลายน $\text{Na}_2\text{B}_4\text{O}_7 \cdot 10\text{H}_2\text{O}$ ความเข้มข้น 0.025

มล./ลิตร

สารละลายน B : สารละลายนกรดไฮโดรคลอริก ความเข้มข้น 0.1 มล./ลิตร

ตารางที่ ก-7.3 วิธีเตรียมบอเรตบัฟเฟอร์ pH 8.1-9.1

pH	ปริมาตรสารละลายน A (มลลิลิตร)	ปริมาตรสารละลายน B (มลลิลิตร)
8.1	50.0	19.7
8.2	50.0	18.8
8.3	50.0	17.7
8.4	50.0	16.6
8.5	50.0	15.2
8.6	50.0	13.5
8.7	50.0	11.6
8.8	50.0	9.4
8.9	50.0	7.1
9.0	50.0	4.6

ผสมสารละลายน A กับสารละลายน B ปรับปริมาตรให้เป็น 100 มลลิลิตร ด้วยน้ำกลั่น

ก-7.4 ชีเตรตบัฟเฟอร์ pH 3.0-6.2 ความเข้มข้น 0.2 รอมล/ลิตร

สารละลายน A : สารละลายนครชิตริก ความเข้มข้น 0.2 รอมล/ลิตร

สารละลายน B : สารละลายนโซเดียมชีเตรต ความเข้มข้น 0.2 รอมล/ลิตร

ตารางที่ ก-7.4 วิธีเตรียมชีเตรตบัฟเฟอร์ pH 3.0-6.2

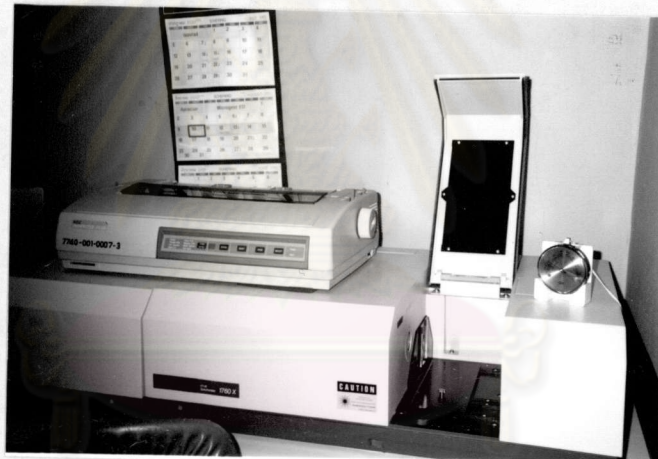
pH	ปริมาตรสารละลายน A (มิลลิลิตร)	ปริมาตรสารละลายน B (มิลลิลิตร)
3.0	82.0	18.0
3.2	77.5	22.5
3.4	73.0	27.0
3.6	68.5	31.5
3.8	63.5	36.5
4.0	59.0	41.0
4.2	54.0	46.0
4.4	49.5	50.5
4.6	44.5	55.5
4.8	40.0	60.0
5.0	35.5	65.0
5.2	30.5	69.5
5.4	25.5	74.5
5.6	21.0	79.0
5.8	16.0	84.0
6.0	11.5	88.5
6.2	8.0	92.0



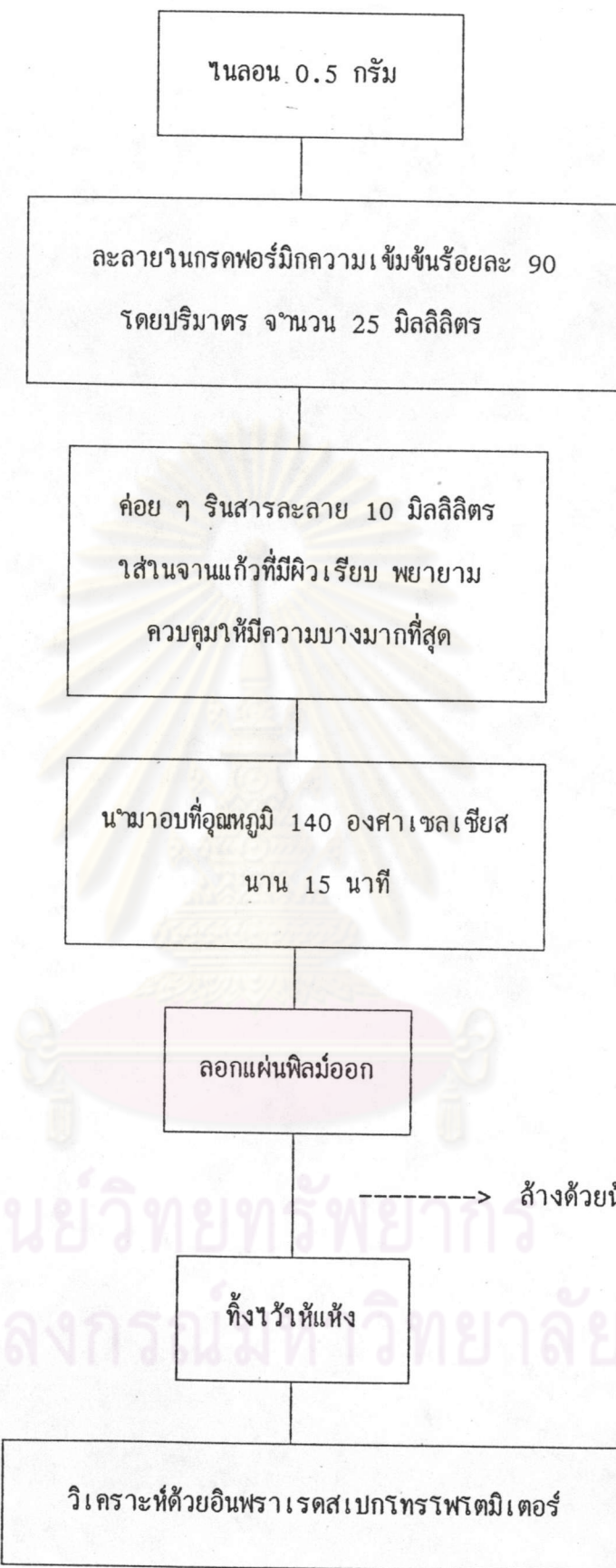
ก-8 วิธีวิเคราะห์ชนิดของผ้าในลอนโดยอินฟราเรดสเปกตรอกรสโกปี

(Haslam และ Willis, 1965)

เตรียมแผ่นพิมพ์ในลอนสำหรับการวิเคราะห์ชนิดของในลอนด้วยวิธีอินฟราเรดสเปกต์อกรสโกปี ซึ่งเครื่องมือแสดงดังรูปที่ ก-8.1 มีขั้นตอนในการเตรียมแสดงดังแผนภาพรูปที่ ก-8.2



ศูนย์วิทยบริการ
รูปที่ ก-8.1 เครื่องอินฟราเรดสเปกต์อกรสโกปี
จุฬาลงกรณ์มหาวิทยาลัย

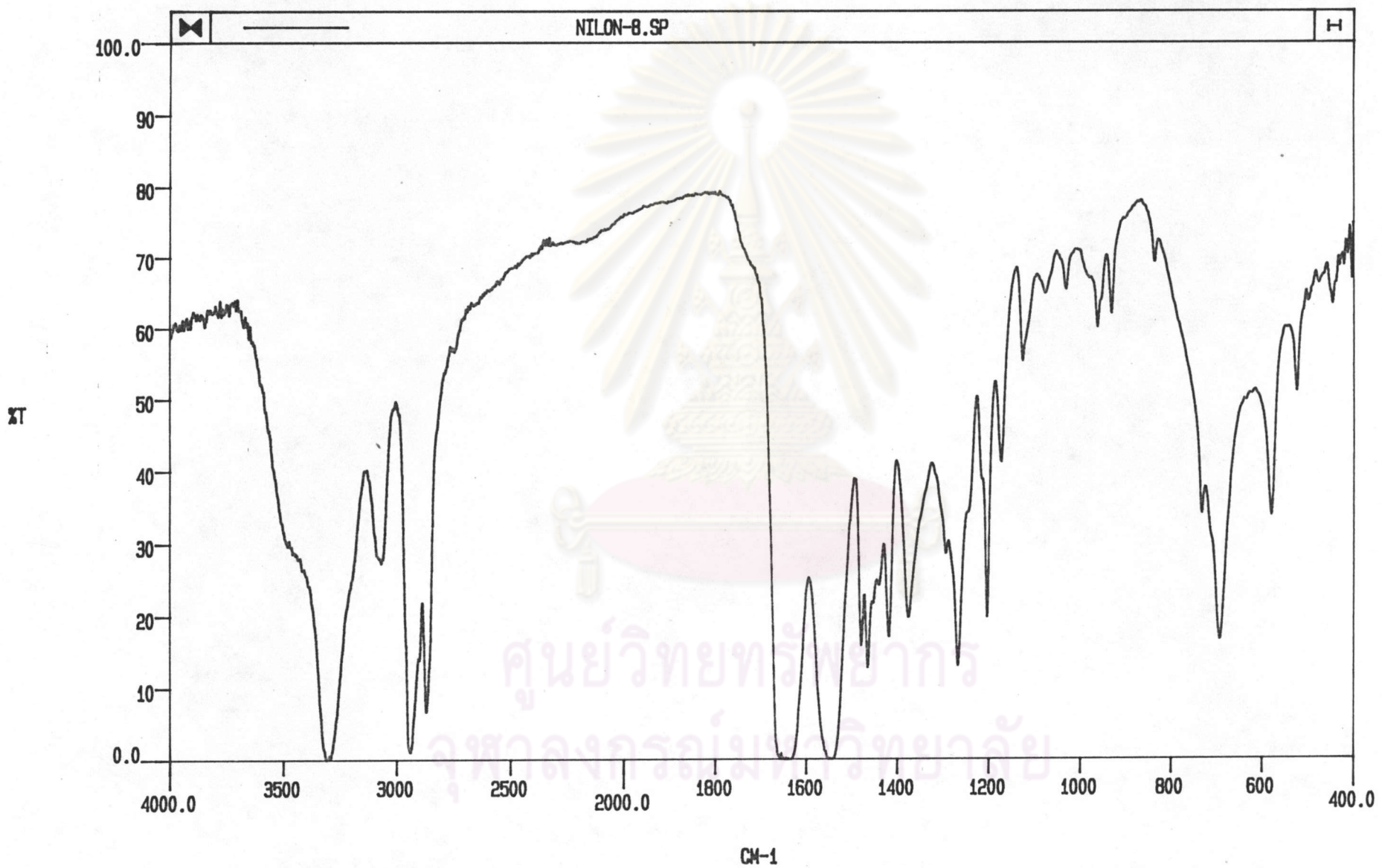


รูปที่ ก-8.2 ขั้นตอนการเตรียมแผ่นพิล์มเพื่อวิเคราะห์ท่านิดของในลอนด้วยเครื่องสเปกโตรโมวิเตอร์

เบรี่ยนเทียนอินฟราเรดสเปกตรัมของผ้าในลอนในรูปที่ ก-8.3 และ ก-8.4

กับสเปกตรัมมาตรฐาน ของในลอน 6 ในลอน 6,6 ในลอน 6,10 และในลอน 11 ในรูปที่ ก-8.5
 (1),(2),(3),(4) ตามลำดับ จะสังเกตเห็นว่าผ้าในลอนมีสเปกตรัมเหมือนสเปกตรัมมาตรฐาน
 ของในลอน 6 ทุกประการ ซึ่งในช่วง $900-1000 \text{ cm}^{-1}$ ในลอน 6 เท่านั้นที่ปรากฏพิกัดที่ประมาณ
 930 และ 960 cm^{-1} ในขณะที่ในลอน 6,6 ในลอน 6,10 และในลอน 11 จะปรากฏพิกัดที่ว
 ที่ชัดเจนในช่วงดังกล่าว ดังนั้นจึงกล่าวได้ว่าผ้าในลอนที่ใช้งานวิจัยนี้เป็นชนิดในลอน 6

ศูนย์วิทยบริพยากร
 จุฬาลงกรณ์มหาวิทยาลัย

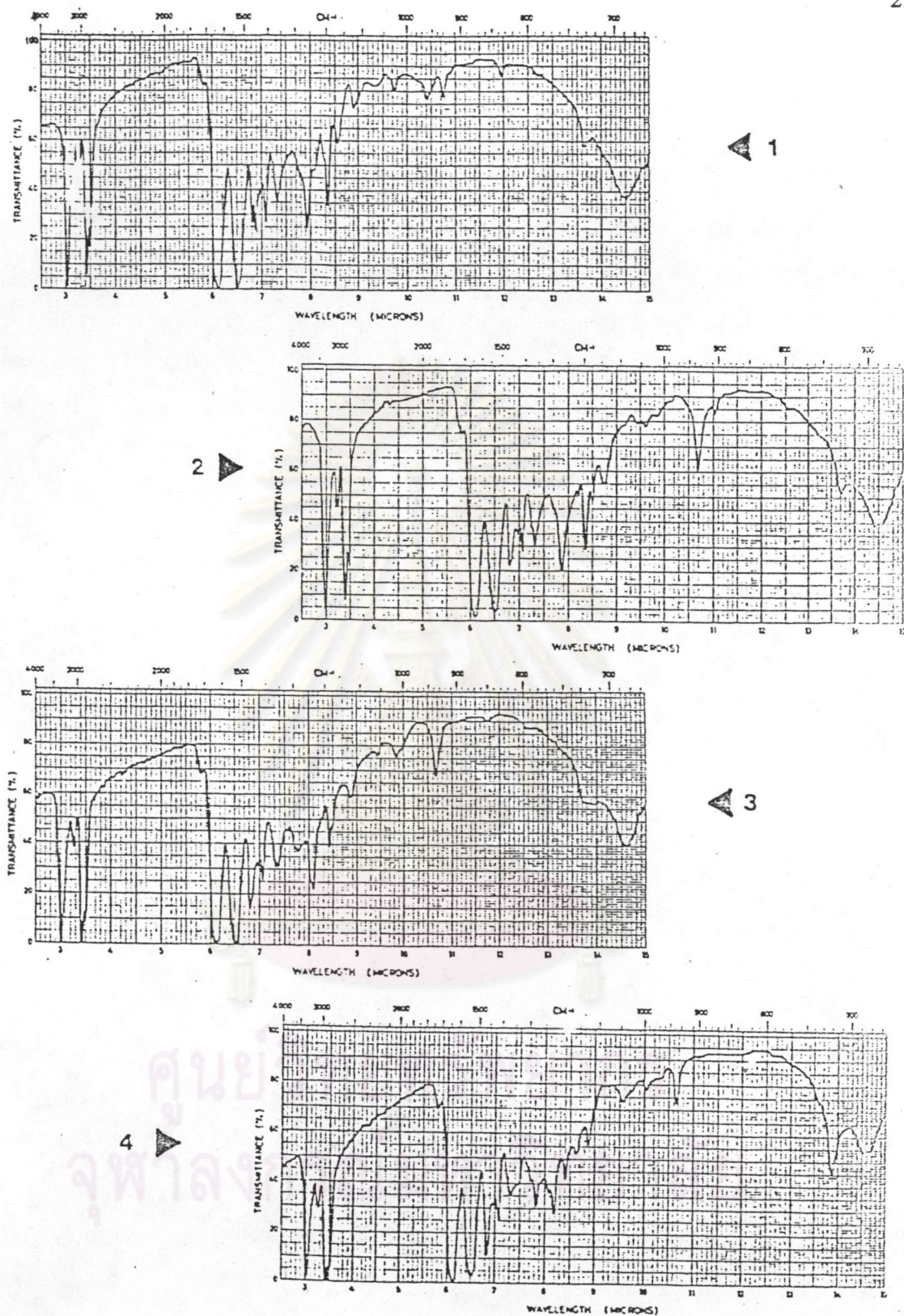


รูปที่ ก-8.3 อินฟราเรดสเปกตรัมของผ้าไนลอน ที่ความยาวคลื่นในช่วง 400-4000 cm⁻¹

ฉบับที่ ๔-๘.๔ ดูรายละเอียดเพิ่มเติมในมาตรา ๑๐๗ แห่งพระราชบัญญัติ พ.ศ.๒๕๖๑ ว่าด้วยการจัดตั้งสถาบันราชภัฏและมหาวิทยาลัย ๙๐๐-๑๐๐๐ ซม.⁻¹

CH-1





รูปที่ ก-8.5 สเปกตรัมมาตรฐานของไนลอน 6 (1), ไนลอน 6 (2), ไนลอน 6,10 (3)
และไนลอน 11(4) (Haslam, 1965.)

ก-9 แบบทดสอบทางประสาทสัมผัสของน้ำกล้ำยห้อม

ชื่อ-นามสกุล _____ วันที่ _____

กรุณาทดสอบน้ำกล้ำยห้อมแล้วให้คะแนน (scoring) คุณลักษณะต่าง ๆ ในตารางนี้

ตัวอย่าง					
1. กลิ่น					
กลิ่นของกล้ำยสุดปกติ	(13-15)				
กลิ่นแบกลบломเล็กน้อย เช่นกลิ่นของ-					
- เช่นไข่มุก	(10-12)				
กลิ่นแบกลบломปานกลาง	(7-9)				
กลิ่นแบกลบломมาก	(4-6)				
2. รส					
รสชาติของกล้ำยปกติ	(13-15)				
รสชาติแบกลบломเล็กน้อย เช่น					
มีความเผื่อน ความขม	(10-12)				
มีรสชาติแบกลบломปานกลาง	(7-9)				
มีรสชาติแบกลบломมาก	(4-6)				
3. การยอมรับรวม					
ยอมรับมากที่สุด	(13-15)				
ยอมรับมาก	(10-12)				
ยอมรับปานกลาง	(7-9)				
ยอมรับน้อย	(4-6)				
ไม่ยอมรับ	(1-3)				

ภาคผนวก ๙

การวิเคราะห์ข้อมูลทางสถิติ

๙-๑ การวิเคราะห์ข้อมูลการวางแผนแบบ Completely Randomized Design (CRD)

ตารางที่ ๙-๑ การวิเคราะห์ข้อมูลแบบ Completely Randomized Design (CRD)

SOV.	df.	SS.	MS.	F calculated	F table
Treatment	t-1	$\sum_{i=1}^t X_i^2 / r - \bar{X}_{..}^2 / rt$	SS_T / df_T	MS_T / MS_E	$f(\% sig., df_T, df_E)$
Error	$t(r-1)$	by subtraction	SS_E / df_E		
Total	$rt-1$	$\sum_{i,j} X_{ij}^2 - \bar{X}_{..}^2 / rt$			

๙-๒ การวิเคราะห์ข้อมูลการวางแผนแบบ Randomized Complete Block Design (RCBD)

ตารางที่ ๙-๒ การวิเคราะห์ข้อมูลแบบ Randomized Complete Block Design (RCBD)

SOV.	df.	SS.	MS.	F calculated	F table
Treatment	$t-1$	$\sum_{i=1}^t \sum_{j=1}^r X_{ij}^2 / r - \bar{X}_{..}^2 / rt$	SS_T / df_T	MS_T / MS_E	
Block	$r-1$	$\sum_{j=1}^r \sum_{i=1}^t X_{ij}^2 / r - \bar{X}_{..}^2 / rt$	SS_{block} / df_{block}	MS_{block} / MS_E	$f(\% sig., df_{block}, df_E)$
Error	$t(r-1)$	by subtraction	SS_E / df_E		
Total	$rt-1$	$\sum_{i,j} X_{ij}^2 - \bar{X}_{..}^2 / rt$			

๒-๓ การวิเคราะห์ข้อมูลการวางแผนแบบ Factorial Complete Randomized Design

ตารางที่ ๒-๓ การวิเคราะห์ข้อมูลแบบ Factorial Complete Randomized Design

SOV.	df.	SS.	MS.	F calculated	F table
Factor					
A	a-1	$\sum_{i=1}^r \sum_{j=1}^s (X_{ij} - \bar{X}_{...})^2 / abcr$	SS_A / df_A	MS_A / MS_E	$f(\% sig., df_A, df_E)$
B	b-1	$\sum_{j=1}^s \sum_{k=1}^t (X_{ijk} - \bar{X}_{...})^2 / abcr$	SS_B / df_B	MS_B / MS_E	$f(\% sig., df_B, df_E)$
C	c-1	$\sum_{k=1}^t \sum_{l=1}^u (X_{ijkl} - \bar{X}_{...})^2 / abcr$	SS_C / df_C	MS_C / MS_E	$f(\% sig., df_C, df_E)$
AB	(a-1)(b-1)	$\sum_{i=1}^r \sum_{j=1}^s \sum_{k=1}^t (X_{ijk} - \bar{X}_{...})^2 / abcr$	SS_{AB} / df_{AB}	MS_{AB} / MS_E	$f(\% sig., df_{AB}, df_E)$
	(b-1)	$-SS_A - SS_B$			
AC	(a-1)(c-1)	$\sum_{i=1}^r \sum_{j=1}^s \sum_{k=1}^t (X_{ijk} - \bar{X}_{...})^2 / abcr$	SS_{AC} / df_{AC}	MS_{AC} / MS_E	$f(\% sig., df_{AC}, df_E)$
	(c-1)	$-SS_A - SS_C$			
BC	(b-1)(c-1)	$\sum_{j=1}^s \sum_{k=1}^t \sum_{l=1}^u (X_{ijkl} - \bar{X}_{...})^2 / abcr$	SS_{BC} / df_{BC}	MS_{BC} / MS_E	$f(\% sig., df_{BC}, df_E)$
	(c-1)	$-SS_B - SS_C$			
ABC	(a-1)(b-1)(c-1)	$\sum_{i=1}^r \sum_{j=1}^s \sum_{k=1}^t \sum_{l=1}^u (X_{ijkl} - \bar{X}_{...})^2 / abcr$	SS_{ABC} / df_{ABC}	MS_{ABC} / MS_E	$f(\% sig., df_{ABC}, df_E)$
	(b-1)	$-SS_A - SS_B - SS_C - SS_{AB}$			
	(c-1)	$-SS_{AC} - SS_{BC} - SS_{ABC}$			
Error	abc(r-1)	by subtraction	SS_E / df_E		
Total	abcr-1	$\sum_{i=1}^r \sum_{j=1}^s \sum_{k=1}^t \sum_{l=1}^u (X_{ijkl} - \bar{X}_{...})^2 / abcr$			

๒-๔ การเปรียบเทียบค่าเฉลี่ยโดยวิธี Duncan's New Multiple Range Test

คิดค่าเฉลี่ย กรณีข้อมูลแบบ factorial คิดค่าเฉลี่ยสำหรับแต่ละตัวแปร และปฏิสัมพันธ์ ต่าง ๆ ดังตารางที่ ๒-๔

ตารางที่ ๒-๔ การคิดค่าเฉลี่ยสำหรับข้อมูลแบบ factorial

factor	ค่าเฉลี่ย	R
A	$\frac{\sum X_1 \dots}{R}$	bcr
B	$\frac{\sum X_2 \dots}{R}$	acr
C	$\frac{\sum X_{1\dots k}}{R}$	abr
AB	$\frac{\sum X_{1,2\dots}}{R}$	cr
AC	$\frac{\sum X_{1\dots k}}{R}$	br
BC	$\frac{\sum X_{2\dots k}}{R}$	ar
ABC	$\frac{\sum X_{1,2\dots k}}{R}$	r

- เรียงลำดับค่าเฉลี่ยจากน้อยไปมากค่านวณค่า $S_v = (MS_E/r)^{t/2}$ $r=\text{จำนวนชุด}$ กรณีข้อมูลแบบ factorial $r=R$ ตามตารางที่ ๒-๔
- เปิดตารางอ่านค่า significant Studentized Range (SSR) ที่ % sig. ที่ต้องการตั้งแต่ $p=2$ ถึง $p=n-1$ ที่ df_E ($n=\text{จำนวนค่าเฉลี่ยทั้งหมดที่ต้องการเปรียบเทียบ}$)
- ค่านวณค่า LSR = $S_v \times SSR$
- เปรียบเทียบความแตกต่างของค่าเฉลี่ยแต่ละคู่กับค่า LSR ตามค่าของ P

॥-5 ตัวอย่างการวิเคราะห์ความแปรปรวน (Analysis of variance)

A

1

3

5

25.05801

21.24321

20.24197

5 25.51603

21.67540

21.55897

 ΣB_1 135.29359

B

X 25.28702

X 21.45931

X 20.90047

20.97207

21.23748

21.14114

7 20.91660

22.75425

21.71059

 ΣB_2 128.73213

X 20.94434

X 21.99587

X 21.42587

21.32850

22.60836

23.67743

9 20.65386

21.48109

23.38959

 ΣB_3 133.13883

X 20.99118

X 22.04473

X 23.53351

24.43897

25.16038

25.49192

10 25.46846

25.24118

24.84368

 ΣB_4 150.64459

X 24.95372

X 25.20078

X 25.16780

 ΣA_1 184.35250 ΣA_2 181.40135 ΣA_3 182.05529

กำหนดให้ A = ความเข้มข้นของ APTS

B = pH ที่ใช้ในการทำปฏิกิริยา

$$\text{Correction term} = \frac{(\Sigma x)^2}{n}$$

$$= \frac{(25.05801 + \dots + 24.84368)^2}{24}$$

$$= 12503.95224$$

$$\text{Total SS} = \Sigma x^2 - CT$$

$$= \{(25.05801)^2 + \dots + (24.84368)^2\} - 12503.95224$$

$$= 79.92837$$

$$\text{Treatment SS} = \frac{(\Sigma x_i^2)}{\text{จำนวนชุด}} - CT$$

$$= \frac{(25.05801 + 25.51603)^2 + \dots + (25.99192 + 24.84368)^2}{2}$$

$$- 12503.95224$$

$$= 75.89810$$

$$\text{Error SS} = \text{Total SS} - \text{Treatment SS}$$

$$= 79.92837 - 75.89810$$

$$= 4.03027$$

$$\text{SS}_{(A)} = \frac{\sum A_i^2}{n(2)} - CT$$

$$= \frac{(184.35250)^2 + \dots + (182.05529)^2}{8} - 12503.95224$$

$$= 0.60059$$

$$\begin{aligned}
 SS_{(B)} &= \frac{\sum B_1^2 - CT}{3(2)} \\
 &= \frac{\{(135.29359)^2 + \dots + (150.64459)^2\}}{3(2)} - 12503.95224 \\
 &= 45.39065 \\
 SS_{(AB)} &= \text{treatment SS} - SS_{(A)} - SS_{(B)} \\
 &= 75.89810 - 0.60059 - 45.39065 \\
 &= 29.90686
 \end{aligned}$$

ศูนย์วิทยบรังษยการ
 จุฬาลงกรณ์มหาวิทยาลัย

ประวัติผู้เขียน

นางสาวอรุณี เพียรทวีรัชต์ เกิดเมื่อวันที่ 2 พฤษภาคม 2510 ณ จังหวัดกรุงเทพมหานคร สำเร็จการศึกษาวิทยาศาสตร์บัณฑิต (เทคโนโลยีทางอาหาร) ภาควิชาเทคโนโลยีทางอาหาร คณะวิทยาศาสตร์ จุฬาลงกรณ์มหาวิทยาลัย ในปีการศึกษา 2532 เข้าศึกษาต่อในระดับปริญญาโท ภาควิชาเทคโนโลยีทางอาหาร บัณฑิตวิทยาลัย จุฬาลงกรณ์มหาวิทยาลัย ในปีการศึกษา 2532 ในระหว่างศึกษาต่อระดับปริญญาโทมีกิจกรรมทางวิชาการดังนี้

27-29 ตุลาคม 2535 เข้าร่วมการประชุมวิชาการวิทยาศาสตร์และเทคโนโลยีแห่งประเทศไทย ครั้งที่ 18 ณ ศูนย์ประชุมแห่งชาติสิริกิติ์ โดยเสนอผลงานวิจัยภาครบท่อร้านหัวข้อเรื่อง " การผลิตน้ำกล้วยหอมโดยใช้เพคตินส์ เชลลูเลส และอะมายเลส "

ผลงานทางวิชาการ

อรุณี เพียรทวีรัชต์ และ ปราณี อ่านเบรื่อง. 2536 ผลของเพคตินส์ เชลลูเลส และอะมายเลส ต่อการผลิตน้ำกล้วยหอม. อาหาร ปีที่ 23()

**ศูนย์วิทยบรังษยการ
จุฬาลงกรณ์มหาวิทยาลัย**